

FIGURE 1 – Principe de l'expérience des fentes d'Young avec des électrons.

Exemple 1

On montre que pour une particule quantique d'énergie E_n enfermée dans une boîte de taille L a pour fonction d'onde :

$$\psi(x,t) = A \sin\left(\frac{n\pi x}{L}\right) e^{iE_n t/\hbar}$$

On admettra que le système est décrit par une seule variable d'espace x . Déterminer la valeur de A .

Exemple 2

Dans l'atome d'hydrogène, l'électron dans son état d'énergie $1s$ possède une fonction d'onde de la forme :

$$\psi(r,t)_{(1s)} = C e^{-r/a_0} e^{-i\omega_{1s} t}$$

où ω_{1s} est relié à l'énergie de orbitale.

1 - Exprimer la probabilité $\mathcal{P}(r)$ d'avoir un électron dans une sphère de rayon r centré sur le noyau.

2 - Déterminer le coefficient de normalisation C en fonction de a_0 .

Données : $\int_0^\infty x^2 e^{-x} dx = 2$

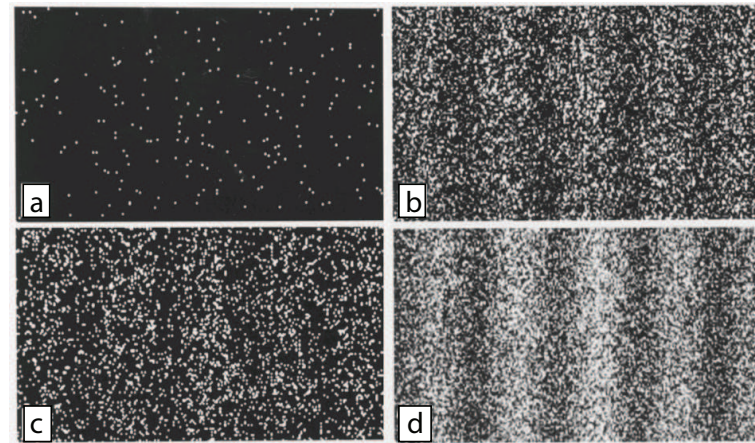


FIGURE 2 – Nombre d'électrons détectés : 8 (a) ; 270 (b) ; 2000 (c) ; 60000 (d) Tonomura et al., Am. J. Phys., 57, 117 (1989).

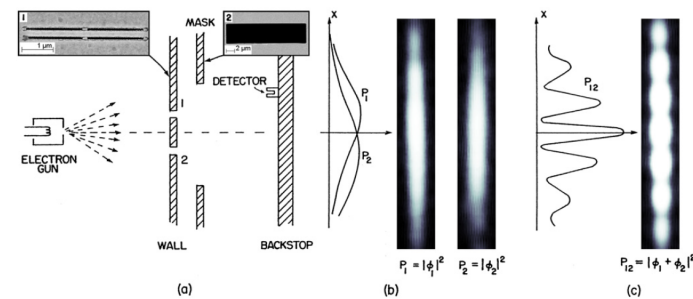


FIGURE 3 – Expériences des Fentes d'Young avec des électrons, *Controlled double-slit electron diffraction, NJP 2013*

Exemple 3 Pour les orbitales $1s$ et $2s$, les fonctions d'onde de l'électron sont de la forme :

$$\begin{cases} \psi(r,t)_{(1s)} = \frac{1}{\sqrt{4\pi a_0}} e^{-r/a_0} e^{-i\omega_1 t} \\ \psi(r,t)_{(2s)} = \frac{1}{4\sqrt{2\pi a_0^{3/2}}} \left(2 - \frac{r}{a_0}\right) e^{-r/2a_0} e^{-i\omega_2 t} \end{cases}$$

1 - Définir la probabilité $d\mathcal{P}(r)$ d'un électron d'être à une distance r du noyau à dr près.

Les densités de probabilité radiale pour les orbitales $1s$ et $2s$ sont représentées ci-contre.

2 - Exprimer le rayon le plus probable pour chacune des orbitales.

4 - Après calcul, on montre que $\langle r_{1s} \rangle = 1,5a_0$ et $\langle r_{2s} \rangle = 5,3a_0$. Comparer ces valeurs par rapport aux densités radiales de probabilité. Le modèle planétaire de Bohr est-il valide pour toutes les orbitales.

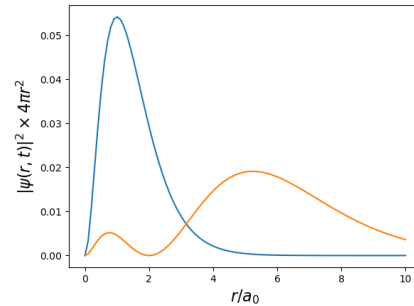


FIGURE 4 – Densité de probabilité radiale des orbitales $1s$ et $2s$

Exemple 4 On considère une expérience de fentes d'Young avec des électrons. Si seul le trou supérieur est ouvert, la fonction d'onde est de la forme :

$$\psi_1(M,t) = A e^{i(kz - \omega t + \phi_1(x))}$$

Avec $\phi_1(x)$ un terme de déphasage dû au déplacement vertical. Si seul le trou inférieur est ouvert, la fonction d'onde est de la forme :

$$\psi_2(x,t) = A e^{i(kz - \omega t + \phi_2(x))}$$

1 - Exprimer la fonction d'onde associée à un électron qui traverse le système des deux fentes.

2 - En déduire l'expression de la densité de probabilité avec

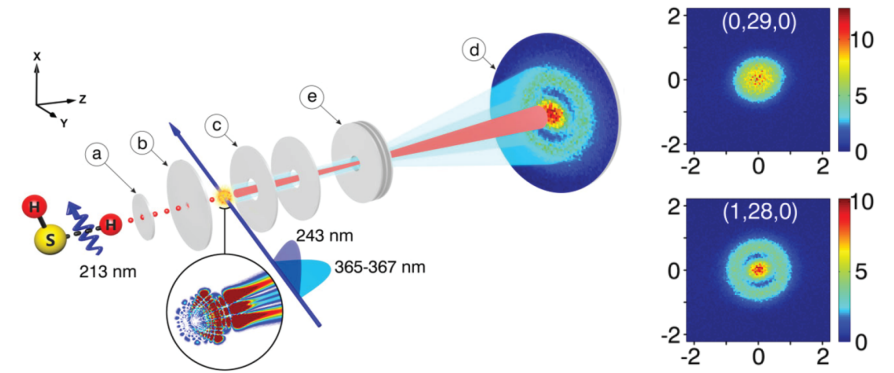
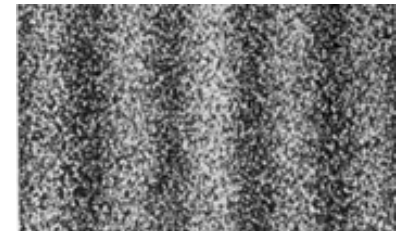


FIGURE 5 – Visualisation de la densité de probabilité électronique pour l'atome d'Hydrogène. Schematic overview of the experiment. (a) atome d'hydrogène issu de la dissociation H_2S sélectionné par une ouverture de 3mm, (b) et (c) électrodes, (d) détecteur, (e) lentille Einzel (tiré de *Hydrogen Atoms under Magnification : Direct Observation of the Nodal Structure of Stark States*, Stodolna et al., PRL 2013)

- (A) la fonction d'onde associée à un quanton avec le trou supérieur ouvert seul ;
- (B) la fonction d'onde associée à un quanton avec le trou inférieur ouvert seul ;
- (C) la fonction d'onde associée à un quanton avec les deux trous ouverts

Exemple 5

Dans l'expérience de de Tonomura, les électrons, émis par une source identique à celle d'un microscope électronique, sont accélérés sous une différence de potentiel de 50 kV. Les fentes seront supposées écartées de $a = 1,0 \mu\text{m}$ et l'écran situé à $D = 1,0 \text{ m}$.



- 1 - Déterminer la vitesse des électrons par une approche classique. Commenter
- 2 - En déduire la valeur de la longueur d'onde de de Broglie sans tenir compte de l'aspect relativiste des électrons.
- 3 - Conclure sur la valeur de l'interfrange de la figure d'interférence. Est elle mesurable du point de vue optique.

Données :

- masse de l'électron : $m_e = 9,1 \cdot 10^{-31}$ kg ;
- $1,0$ eV = $1,6 \cdot 10^{-19}$ J ;
- constante de planck : $h = 6,63 \cdot 10^{-34}$ J.s ;

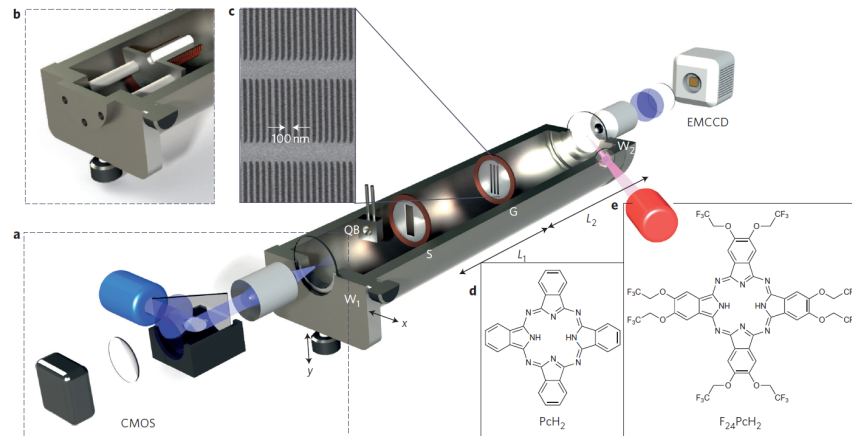


FIGURE 6 – Dispositif expérimental permettant les interférences de molécules (d). (a) évaporateur, (c) réseau de fentes, (e) excitation des molécules déposées sur la quartz par diode laser. (tiré de *real-Time single molecule imaging of quantum interference*, Nature Nanotechnology, Juffmann et al. 2012)

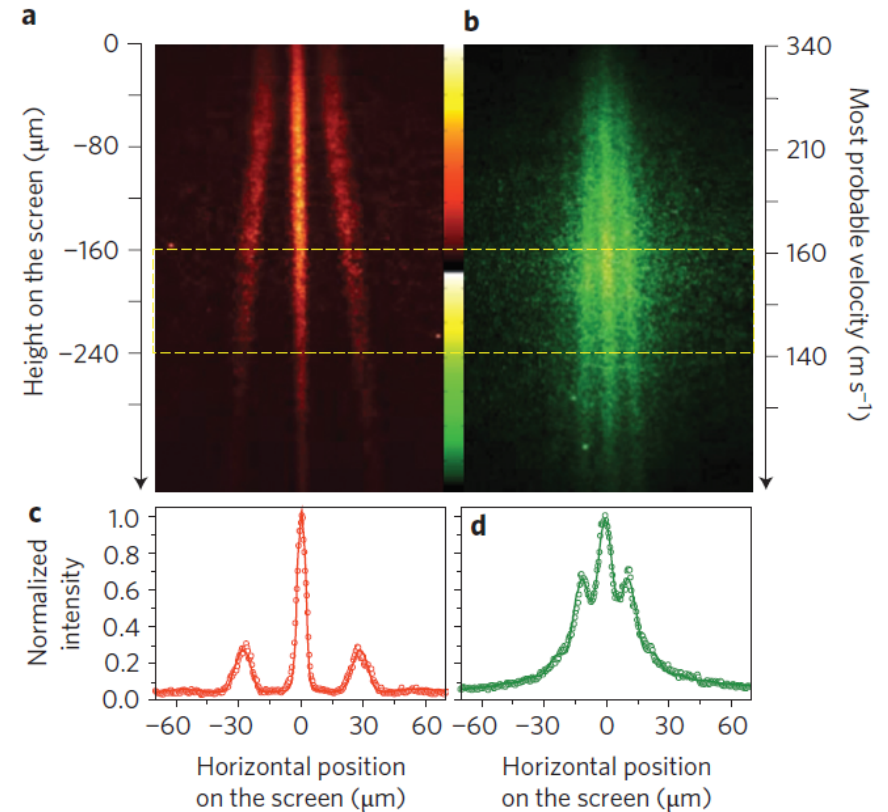


FIGURE 7 – Franges d'interférences des molécules poids atomique 514 et 1028 (tiré de *real-Time single molecule imaging of quantum interference*, Nature Nanotechnology, Juffmann et al. 2012)

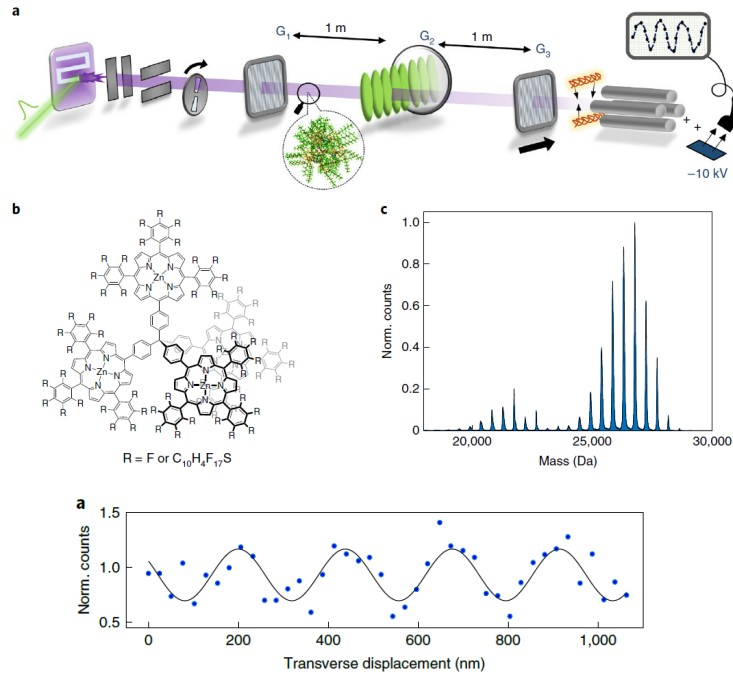


FIGURE 8 – Dispositif expérimental , Nature physics Letters, Fein et al. 2019

)

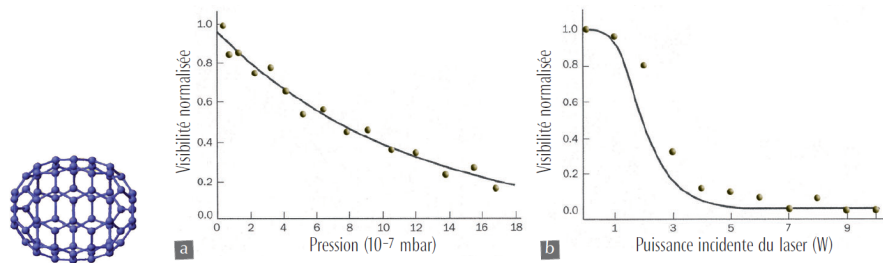


FIGURE 9 – Brouillage des interférences en raison des collisions entre molécules et de l'émission de photon. Tiré des Reflets de la physique, Michel Le Bellac, 2009

Exemple 6 On considère la superposition d'ondes planes suivante :

$$\psi(x,t) = \frac{e^{i((k+\delta k)x-\omega t)} + e^{i((k-\delta k)x-\omega t)}}{2}$$

- 1 - Calculer la densité de probabilité de présence. La fonction d'onde est-elle normalisée ?
- 2 - Montrer que la localisation de la particule est améliorée par rapport à l'onde plane dans des zones de l'espace que l'on déterminera en fonction de δk

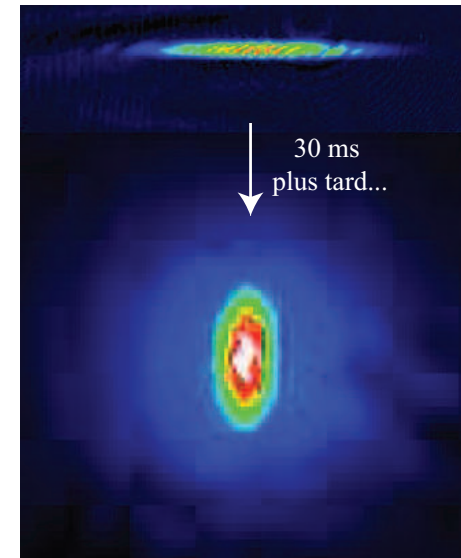


FIGURE 10 – (Photos de P.Desbiolles, D. Guery-Odelin et J. Söding, ENS).